

## НОВЫЕ ДАННЫЕ К *HIPPARION LONGIPES* GROM. ИЗ ПАВЛОДАРСКОГО ПРИИРТЫШЬЯ

А.К. Шарипова

Павлодарский государственный университет им. С. Торайгырова

Вследствие отсутствия черепа и нижней челюсти, а также ограниченного количества зубов как верхней, так и нижней челюстей при выделении *Hipparium longipes* как отдельного вида, настоящий материал может пролить свет в некоторые детали строения, взаимного расположения и других особенностей зубной системы исследуемого объекта. Материал В.И.Громовой был представлен 58 экземплярами постоянных коренных зубов и 24 молочными, которые были группированы по размерам, следам контакта и степени стертости. Общее же количество костных остатков, принадлежащих *H. longipes* составляло 163 экземпляра. В связи с тем, что материал, представленный в работах В.Громовой по этому виду гиппариона был относительно немногочисленным, то описание новых материалов сможет только дополнить характеристику и диагноз этого вида.

ОТРЯД Perissodactyla Owen, 1848

ПОДОТРЯД Hippomorpha Wood, 1937

СЕМЕЙСТВО Equidae Gray, 1821

ПОДСЕМЕЙСТВО Merihippinae Simpson, 1951

РОД Hipparium Cristol, 1832

*Hipparium longipes* Gromova, 1952

рис. 1,2,3,5; таб.1,2,3,4

*H. longipes*: Gromova, 1952, стр. 268-275; таб. VII, фиг.1-6; таб. VIII, фиг. 7; таб. IX, фиг. 1-2; таб. X, фиг.3

Диагноз по В.И.Громовой, 1952 [1].

Материал: фрагменты челюстей №№15-А/61-П, 1170-А/63-П, 1710/70-П; изолированные зубы: Р<sup>2</sup>- №№ 1369/63-П, 0387-А/54-П, 0326-А/54-П, 0322-А/54-П; Р<sup>3</sup>- №№ 0385-А/54-П, 0386-А/54-П; Р<sup>4</sup>- №№ 0348-А/54-П, 657-А/61-П, 0390-А/54-П, 2276/П-76; М<sup>1</sup>- №№ 2315/П-76; М<sup>2</sup>- №2464/П-76; Р<sub>4</sub>- №№ 0327-А/54-П, 0326-А/54-П; М<sub>1</sub>- № 657-А/61-П; М<sub>3</sub>- 362-А/61-П; метаподии №№1267-А/48-П, 0823-А/60-П, 1481-А/63-П, 0442-А/54-П.

Описание. Верхняя челюсть. Имеются Р<sup>2</sup> всех степеней стертости (рис. 1), по которым можно проследить изменчивость параметров протокона, складчатость эмали, уровень слияния протокона с протолофом (протоконулем). Нестергтый Р<sup>2</sup>(№1369/63-П) принадлежит очень молодому животному, покрыт достаточно толстым слоем цемента. Высота зуба измерялась по переднему

краю и составила 43,35 мм, что достаточно превышает единственный, приведенный В.Громовой, размер нестергтого  $P^2$  (высота ок.37). Даже слабостергтый зуб (№ 0387-А/54-II) имеет высоту 40,12мм. Индекс высоты к длине для нестергтого зуба равен 117, для слабостергтого – 101,6. Протокон различной формы: от узкого, заостренного в углах, до овального. Индекс формы протокона на слабостергтом зубе равен 35,8, что характеризует его как узкий. Тот же индекс для среднестергтого  $P^2$  равен 53,7, а для сильностертого – 54,2. По Громовой, для всех верхних зубов протокон считается узким, если его индекс находится в пределах от 30 до 52. В данном случае, параметры средне- и сильностертого второго предкоренного незначительно выходят за установленные пределы. Индекс длины протокона (16,6-26,3) характеризует его как короткий. Таким образом, протокон на  $P^2$  короткий и узковатый.

Слияние протокона с протоконулем происходит на сильностертой стадии с помощью узкого перешейка. Интересен и тот факт, что на этом зубе еще присутствуют складки на стенках марок, которые обычно исчезают на такой стадии стертости и края марок сглаживаются.

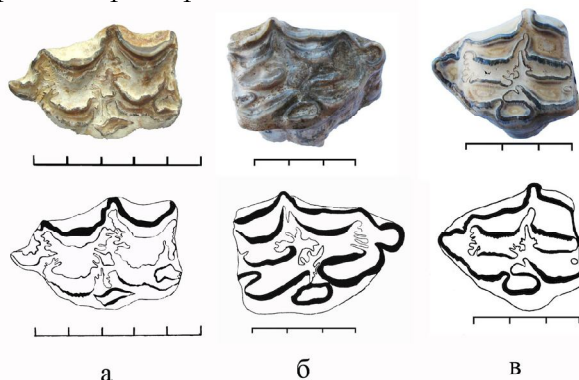


Рисунок 1 - Вид на жевательную поверхность  $P^2$  *H. Longipes* Grom.: а – слабостергтый зуб № 0387-А/54-II; б – среднестергтый зуб № 0326-А/ 54-II; в – сильностертый зуб № 0322-А/ 54-II.

Больше всего складок на передней стенке передней марки – 5, на задней – 3,5; на передней стенке энтофлексида лишь одна широкая складка, которая на вершине разветвляется на три мелкие складочки. Задняя бухта на сильностертой стадии не наблюдается. На всех трех зубах отмечается слияние марок, а на слабостергтом зубе, кроме того, присутствует открытая передняя марка. *Pli caballin* достаточно длинная и достигает протокона.

Третий и четвертый предкоренные хорошо идентифицируются от моляров. На премолярах передняя часть зуба намного меньше задней, на молярах – почти одинаковые.  $P^3$  отличаются от  $P^4$  более крупными размерами.  $P^4$  квадратной

формы, парастиль более вытянут, чем мезостиль. Высота самого слабостертого из Р<sup>4</sup> (№0348/54-П) составила 58,64мм, следовательно, можно допустить, что высота нестертого зуба могла бы достигать 60мм. Тогда индекс высоты к длине для Р<sup>4</sup> равен около 208. В сравнении с индексом гипсодонтии нестертого Р<sup>3,4</sup> по В.Громовой (191,8), зубы чуть выше, но все же, относятся к категории низких. Если предположить, что моляры еще выше, тогда этот индекс может быть еще больше. В сравнении с крайним пределом индекса гипсодонтии у *H.elegans* для данной категории зубов (206,5), зубы гиппариона лонгипес отражают признаки приспособления к более жесткому типу питания. Наиболее показателен индекс гипсодонтии для Р<sup>2</sup>. Второй предкоренной считается самым низким из зубов, отношение его высоты к длине для нестертого Р<sup>2</sup> (1369/63-П) равно 148,7 против 101,4 по В.Громовой. У *H.elegans* этот индекс колеблется в пределах 100-122,2, у *H. moldavicum* 96,6-120.

На фрагменте челюсти с М<sup>1</sup>М<sup>2</sup> №1710/70-П (рис.2) с наружной стороны выделяется лицевой гребень, заканчивающийся на уровне начала М<sup>1</sup>. Кость хорошо фосилизована. Для того, чтобы более точно определить степень стертости зубов в челюсти, мы измерили их максимальную высоту с наружной, более разрушенной части и сравнили с размерами собственных нестертых зубов и с параметрами В. Громовой. Высота М<sup>2</sup> равна 26,79, что почти в 2 раза меньше высоты нестертых зубов (55 мм). Мы определили их как слабо-среднестертые, так как при среднем значении высоты зуба складчатость эмали достаточно выражена и соответствует для слабостертых.



Рисунок 2 - Фрагмент верхней челюсти *H.longipes* Grom. № 1710/ 76-П

На передней и задней стенках prefossette M<sup>1</sup> 4,5 и 8,5 складочек, а на postfossette соответственно 6,5 и 3. На внутренних стенах марок складки не мелкие, а достаточно вытянутые, поэтому при стирании не исчезают и сохраняются до сильностертой стадии.

Так как среди изолированных зубов имелись такие, которые подходили к друг другу по степени стертости, местам контактов, цвету, мы предположили, что они могли принадлежать одному животному и сгруппировали их в ряд Р<sup>4</sup>-М<sup>2</sup>. Эти зубы среднестерты и складчатость на них также хорошо выражена (рис.3). Хочется отметить особенность, часто встречающуюся на верхних зубах *H. longipes* – дихотомическое ветвление складочек. Такая особенность встречается у китайских

гиппарионов [2] и характеризуется как одно из приспособлений к увеличению перетирающей поверхности за счет ветвления складочек, а не толщины эмали.

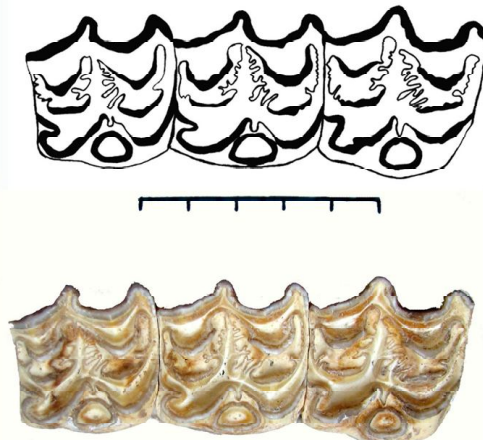


Рисунок 3 - Сгруппированный ряд P4-M2 №№ 2276/II-76, 2315/II-76, 2464/II-76

Таблица 1

Промеры верхних коренных зубов *Hippurion longipes* Grom.

№ п/п	Морфологический показатель	1369	0387-А	0326-А	0322-А
		63-II	54-II	54-II	54-II
		P2	P2	P2	P2
1	Высота коронки	51,48	48,16	31,81	11,27
2	Длина коронки	34,61	39,50	37,28	33,05
5	Ширина коронки	28,08	26,60	26,43	26,97
6	Ширина протокона	-	3,42	4,57	4,71
3	Длина протокона	-	9,55	8,41	8,68
7	Индекс ширины протокона	-	12,9	17,3	17,5
4	Индекс длины протокона	-	16,6	22,6	26,3
8	Индекс формы протокона	-	35,8	53,7	54,2
9	Индекс ширины коронки к длине	81,1	67,3	70,9	81,6
10	Складчатость эмали	-	5,5-5-3-0 1	5-5-3-1 1	5-3-1-0 1

Продолжение таблицы 1.

№ п/п	Морфологический показатель	0385-А 54-II	0386-А 54-II	0348-А 54-II	657-А 61-II	0390- А 54-II	1710 70-II	2276 II-76	2315 II-76	2464 II-76	1517 63-II
		P3	P3	P4	P4	M1	P4	M1	M2	M3	M2
		средне- струг	средне- струг	слабо- струг	слабо- струг	слабо- струг	средне- струг	средне- струг	средне- струг	средне- струг	очень
1	Высота коронки	42,6	38,77	58,64	49,35	48,06	-	32,91	31,71	32,50	11,58
2	Длина коронки	29,36	30,05	28,81	27,7	27,13	24,28	27,89	25,11	24,92	29,71
5	Ширина коронки	28,27	28,81	25,54	26,15	27,03	27,44	28,81	26,57	25,75	23,01
6	Ширина протокона	4,43	4,28	4,11	3,18	4,44	4,41	5,10	5,01	5,28	4,82
3	Длина протокона	6,98	8,23	8,89	7,51	6,70	7,38	7,15	7,91	7,31	9,94
7	Индекс ширинны протокона	15,7	14,9	16,1	12,1	16,4	16,1	17,7	18,9	20,5	16,6
4	Индекс длины протокона	23,8	27,4	30,9	27,3	24,7	30,1	25,6	30,1	29,1	33,5
8	Индекс формы протокона	63,5	52,0	46,2	42,3	66,3	59,8	71,3	63,3	72,2	48,49
9	Индекс ширинны коронки к длине	96,3	95,9	88,6	94,40	99,6	113,0	103,3	105,8	103,3	77,45
10	Скважчатость эмали	6,5-5-3-1 1	2-5- 3,5-1 1	2-5- 5-2 1	6,5-8- 3,5-3 2-1 1	4,5-8,5- 3,5-3 2-1 1	1-6,5-2-1 6-2 1	1-5,5-2-1 1 1	1-7,5- 2,5-1 1 1	1-6,5- 3-4 1 1	4-7,5- 5-1 1 1

Как видно из диаграммы на рис.4 длина протокона мало изменяется по высоте (индекс длины протокона колеблется в пределах 16,6 – 33,5). Форма протокона уже на среднестругих зубах приближается к прямильно-ovalной.

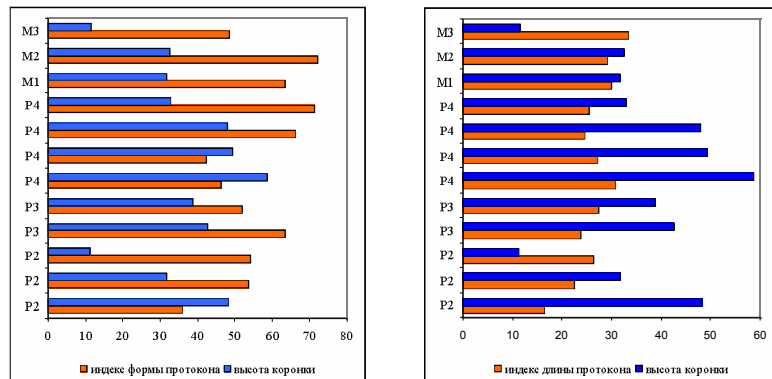


Рисунок 4 - Зависимость индексов протокона от высоты коронки

Нижняя челюсть (таб.3). Имеются фрагменты правой и левой ветвей нижнечелюстной кости (№15-А/61-П; №1170-А/63-П) со среднестертыми  $P_2-P_4$ , два одиночных  $P_{3,4}$ , принадлежащих взрослым особям и нестертыми  $M_1$  и  $M_3$ . Расположение зубов в челюсти неравнозначно: почти перпендикулярно расположен  $P_3$ , передняя и задняя его поверхности плоские;  $P_2$  и  $P_4$  наклонены и плотно примыкают к нему. Поэтому длина ряда предкоренных у альвеол чуть больше – соответственно 90,05; 90,26, чем у жевательной поверхности -89,61; 89,72. Высота челюсти впереди  $P_2$  по внутренней (лабиальной) стороне равна 41,81 и 40,31, под серединой  $P_3$  – 50,06 мм. Остальные промеры снять невозможно вследствие деформированности горизонтальной ветви нижней челюсти. В сравнении со средними по размерам *H. moldavicum* (высота впереди  $P_2$  = 48 мм, под серединой  $P_4$  = 55 мм) нижнечелюстная кость относительно низкая. У *H. elegans* эти измерения равны соответственно 32-48мм, 43,5-55мм.

Размеры зубов крупные. В сравнении с другими крупными гиппарионами *H. primigenium*, *H. crassum*, *H. theobaldi*, *H. proboscideum* павлодарский гиппарион более близок к китайскому. В сравнении с самым крупным гиппарионом из о. Самоса длина предкоренных немного короче (таб.2).

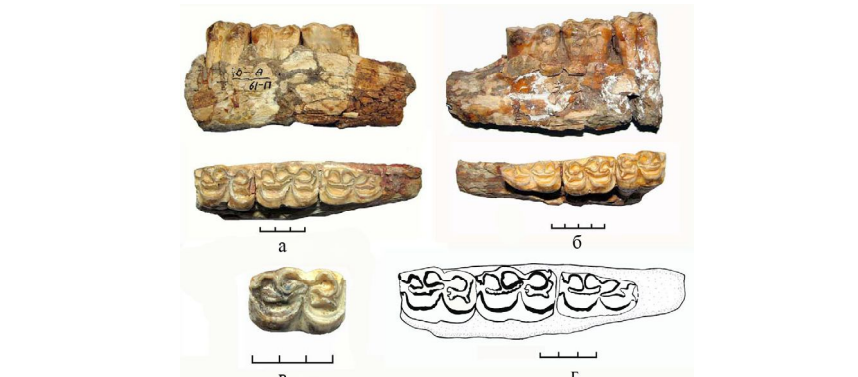


Рисунок 5 - Нижние предкоренные *H.longipes*: а – фрагмент челюсти № 15-А/61-II (вид сбоку и сверху); б – фрагмент челюсти № 1170-А/63-II (вид сбоку и сверху); в- Р<sub>3</sub>, № 0327-А/54-II; г- рисунок жевательной поверхности нижних предкоренных зубов

Для нижних зубов молярно-премолярный индекс примерно равен 98,4. Согласно этого, размеры предкоренных и коренных зубов не сильно отличаются. Отсюда можно заключить, что в процессах пережевывания они принимали участие в одинаковой степени. Индекс отражает приспособление зубного аппарата к увеличению или уменьшению абразивности пищи. В данном случае размеры зубов и их соотношение отражают приспособленность к питанию ксерофитной растительностью. Двойная петля гиппарионового типа с более или менее симметричными метаконидом и метастилидом. Однако linguaflexid не широко-округлая, а с уплощенным дном. На Р3 в челюстях метастилид образует со стороны энтоконида складочку эмали, возможно, вследствие сжатия.

Таблица 2  
Сравнение размеров нижних зубов крупных гиппарионов

Зубы	<i>H.longipes</i>	<i>H.crassum</i>	<i>H. theobaldi</i>	<i>H. proboscideum</i>	<i>H.primigenium</i>
P <sub>2</sub> -P <sub>4</sub>	<b>90,05; 90,26</b>	-	-	<b>74,5-91,5</b>	-
P <sub>2</sub>	<b>31,70-32,40</b>	<b>32,6</b>	<b>33,0</b>	-	-
P <sub>3</sub>	<b>28,82-28,85</b>	<b>31,3</b>	<b>28,7</b>	-	<b>25-27</b>
P <sub>4</sub>	<b>26,72-26,91</b>	<b>26,5</b>	<b>28,5</b>	-	<b>23-26</b>
M <sub>1</sub>		<b>25,5</b>	<b>25,4</b>	-	<b>22-24</b>
M <sub>2</sub>		<b>26,0</b>	<b>27,2</b>	-	<b>21,5-25</b>
M <sub>3</sub>	<b>28,75</b>	<b>31,6</b>	<b>33,0</b>	-	<b>24-29</b>

Таблица 3

Промеры нижних зубов *Hipparium longipes* Grom.

Промер и индекс	15-A/61-II			1170-A/63-II			0327-A/54-II	0326-A/54-II	657-A/61-II	362-A/61-II
	P <sub>2</sub>	P <sub>3</sub>	P <sub>4</sub>	P <sub>2</sub>	P <sub>3</sub>	P <sub>4</sub>	P <sub>4</sub>	P <sub>4</sub>	M <sub>1</sub>	M <sub>3</sub>
Высота коронки, мм	-	-	-	-	-	39,98	46,88		57,56	54,96
Длина коронки, мм	31,70	28,82	26,72	32,40	28,85	27,26	27,38	28,64	29,81	28,75
Ширина коронки, мм	16,98	19,80	19,21	16,91	19,48	18,79	18,30	19,09	15,42	
Длина двойной петли, мм	13,45	17,22	15,84	13,91	17,13	15,88	15,89	17,50	-	-
Длина передней внутренней долинки, мм	9,45	9,58	8,41	9,18	9,54	8,71	8,53	9,44	-	-
Длина задней внутренней долинки, мм	13,14	13,97	13,28	13,05	13,80	13,30	12,93	14,15	-	-
Ширина энтоконида, мм	6,63	6,87	6,20	6,67	7,03	6,67	6,32	7,11	-	-
Длина энтоконида с талонидом, мм	8,89	9,20	9,73	8,79	9,01	9,65	10,15	9,32	-	-
Индекс ширины к длине коронки, мм	53,6	68,7	71,9	51,2	67,3	68,9	66,8	69,5	-	-
Индекс длины передней внутренней долинки к длине задней, мм	71,9	68,6	63,3	70,3	69,1	65,5	65,9	66,7	-	-
Индекс длины задней долинки к длине зуба, мм	41,5	48,5	49,7	40,3	47,8	48,8	47,2	49,4	-	-
Индекс ширины энтоконида к длине энтоконида с талонидом	74,6	74,7	63,7	75,8	78,0	69,1	62,3	76,3	-	-
Формула складчатости	1-0-1 0	0-1-1 0	0-1-0 0	1-0-0 0	0-1-1 0	0-1-0 0	0-1-0 0		-	-

Строение передней внутренней долинки, а именно, вытянутость в равной степени наружу переднего и заднего концов в виде рогов, может использоваться как отличительный признак для нижних зубов *Hipparium* не только от *E.caballus* s.l., но и от примитивных членов рода *Equus*. У *Equus* далеко вперед вытянут только передне-наружный угол. Задне-наружный угол не выступает. Особенно это ясно для Р. Характерная для гиппарионов симметричная вытянутость наружу рогов передней долинки у *H. longipes* не

соблюдается. На  $P_4$  в челюстях заметна асимметричность: палец метафлексида вытянут далеко наружу. На  $P_3$  эта разница заметна, но не так отчетливо как на  $P_4$ . На двух одиночных премолярах этот признак выражен также.

Наружная долинка на всех рассмотренных среднестерных Р не проникает в шейку двойной петли (тип II). Этому ей препятствует передний конец задней внутренней долинки. Энтофлексид на  $P_3$  имеет изогнутую форму, кажется склоненной к оси зуба. А на  $P_4$  задняя долинка выравнена и своим передним концом располагается на уровне вершины наружной долинки.

Индекс передней долинки к длине задней на среднестерных премолярах у *H. longipes* в сравнении с *E. stenonis* (60-70), *E. caballus* (ср. 69,3) и *E. hemionus* (ср. 66,1) отличается незначительно и равен 63,3-71,9 (ср. 67,7). Для гиппарионов это значение колеблется в широком интервале от 49-75.

Вышеперечисленные признаки приближают крупного павлодарского гиппариона к лошадям.

Конечности. Имеются 5 экземпляров Мт III разной степени сохранности: на 2x отсутствует проксимальная, на других 2x дистальная часть, на одном – дистальный конец отсутствует, а проксимальный частично разрушен (таб.4).

Метаподии *H.longipes* отличаются большим развитием фасеток для суп II и для cuboideum на верхнем конце Мт III. Индексы ширины этих фасеток к ширине суп III равны соответственно 20,24 и 28,92. Индексы отражают перенос тяжести со второго и четвертого пальцев на третий. В своей работе В.И.Громова также отмечает прогрессивные черты в строении конечностей *H.longipes*, характеризующие перенос тяжести тела на третий палец. У явно трехпалых гиппарионов *H.elegans* и *H. moldavicum* эти значения немного меньше: соответственно 14 и 27,5; 21,6-25,6.

Таблица 4  
Третья метатарсальная кость *Hipparium longipes* Grom.

Промеры и индексы	№ 1267-4 48-II	№ 0823-A 60-II	№ 1481-A 63-II	№ 0442- A 54-II	По Громовой
<b>1. Полная длина</b>	-	-	-		<b>301;315</b>
<b>2. Наружная длина</b>	-	-	-	-	<b>299;304</b>
<b>3. Ширина верхней суставной поверхности</b>	47,02	42,48	-	-	<b>45</b>
<b>4. Поперечник верхнего конца</b>	41,26	43,83	-	-	-
<b>5. Поперечник верхней суставной поверхности</b>	36,07	35,04	-	-	-
<b>6. Ширина заднего отдела верхней суставной поверхности</b>	21,84	20,97	-	-	-
<b>7. Ширина дистального конца в буграх</b>	-	-	40,35	40,11	<b>39-41,4</b>

<b>8.Ширина дистального конца в суставе</b>	-	-	39,12	38,53	38-39,5
<b>9.Поперечник дистального конца на гребне</b>	-	-	35,95	32,60	31-35
<b>10.То же в медиальном отделе наибольший</b>	-	-	29,12	29,85	28,5-31,5
<b>11.Ширина в середине диафиза</b>	28,64	-	29,58	28,13	29,30
<b>12.Ширина суставной поверхности для cuneiforme III</b>	43,33	40,15	-	-	38,4; ок.42
<b>13.Ширина суставной поверхности для cuneiforme II (по краю)</b>	8,77	-	-	-	7; 10,8
<b>14.То же для cuboideum</b>	12,53	11,43	-	-	13; 12
<b>Индексы:</b>	<b>87,75</b>	<b>103,18</b>	-	-	-
4:3	46,45	43	-	-	-
6:3	-		81,0	91,5	90-92,7
10:9	20,24				18,5; 25; 19
13:12	28,92				34,2; 30
14:12					

Изучив имеющийся материал, мы предлагаем дополнения к диагнозу *H.longipes* Grom. следующими характеристиками:

- длина зубного ряда около 180 мм; длина ряда нижних предкоренных – 90,26 мм; максимальная высота нестертого  $P_4$  – 60 мм;
- нижнечелюстная кость низкая, индекс гипсодонтии  $P_4$  – 208,  $P_2$  – 148;
- молярно-премолярный индекс нижней челюсти равен приблизительно 98,4;
- выемка двойной петли не широко-округлая, а с уплощенным дном;
- передний рог передней внутренней долинки более оттянут наружу;
- складчатость эмали верхних зубов средняя, наблюдается дихотомическое ветвление;
- форма протокона уже на среднестертых зубах правильно-овальная;
- конечности массивные, имеются черты перехода к однопалости.

Автор выражает глубокую благодарность П.А. Тлеубердиной за содержательные консультации и предоставленные коллекции.

#### ЛИТЕРАТУРА

- 1.Громова В. Гиппарионы. // Труды Палеонтологического института. 1952. Т.36.- 487с.
- 2.Жегалло В.И. Гиппарионы Центральной Азии. // Труды ССМПЭ. 1978.- 156с

3. Габуния Л.К. К истории гиппарионов. – М.: «Наука», 1959.- 570 с.
4. Жегалло В. И. К истории плиоценовых гиппарионовых фаун Монголии и Средней Азии. – Бюлл. МОИП, отд. геол, вып. 6, 1966.- 115 с.
5. Жегалло В. И. Гиппарионы из неогеновых отложений Западной Монголии и Тувы. – В кн.: Геология мезозоя и кайнозоя Западной Монголии. М.: «Наука», 1971. – С. 98 – 119
6. Лунгу А.Н. Гиппарионовая фауна среднего сармата Молдавии: Копытные млекопитающие - Кишинев: Штиинца, 1984. – 159 с.
7. Меладзе Г.К. Гиппарионовая фауна Аркнэти и Базалети.- Тбилиси: Мецниереба, 1967. – С. 5-163.
8. Крахмальная Т.Ф. Гиппарионы позднемиоценовой фауны Новой Эметовки. // Мат-лы по некоторым группам позднекайнозойских позвоночных Украины. Киев. 1987. С. 8-12.
9. Safve I. Die Hipparrionen Nordchinas. 1927. Pal. Sin., c. 4, N. 2.

***Түйіндеме***

Бұл мақалада Павлодар өңіріндегі «Қаздар откелі» орнынан табылған *Hipparrion longipes* Grom. түрінің сипаттамасын және диагнозын толықтыратын жаңа материалдардың зерттеу мөліметтері берілген.

***Resume***

This article deals with new researching results of *Hipparrion longipes* Grom. from the locality «Gusiny perelet» in Pavlodarskoye Priirtyshye. These data could supplement the characteristics and diagnosis of this species.

УДК 581.526.45 (571.6)

## **ДИНАМИКА БИОЛОГИЧЕСКОЙ ПРОДУКТИВНОСТИ БЕЛОПОЛЫННО-ТИПЧАКОВОЙ АССОЦИАЦИИ В ЗАПАДНОМ КАЗАХСТАНЕ**

**Г.М. Атаева**

Акмолинский государственный педагогический институт, г. Акмолинск

Биологическая продуктивность растительности степей, в сочетании с климатическими факторами, на протяжении веков обеспечивают плодородие почв степной зоны, которая является основной житницей земледелия и животноводства. Практически фронтальная распашка степей Казахстана, более чем на 70%, способствовала трансформации степной растительности